

防衛大学校 正員。佐藤良一
電力中央研究所 正員 青柳征夫
電力中央研究所 正員 阿部博俊

1. まえがき

近年 原子炉用コンクリート容器や LNG 貯蔵用コンクリートタンクの設計・製作がさかんに行なわれている。この種のコンクリート構造物は 温度勾配による曲げモーメントを受けるが、そのモーメントの大きさは 主に平均曲げ剛性に支配されると指摘されている。本報告は この観点から 常温下と低温下の二つのケースについて 鉄筋とコンクリートの付着応力に対するベリ曲線を用いて解析した鉄筋コンクリート部材の平均曲げ剛性を 実験値および既往の提案値と対比することにより考察したものである。

2. 解析

2-1 仮定

- 鉄筋とコンクリートとの $\epsilon_y - \delta_x$ 曲線は 図-1 に示すとく木村⁽¹⁾ の 実験結果に従う。またその曲線式は Martin⁽²⁾ に従う。
- コンクリートは均質であり その断面は平面保持の仮定が成立する。
- 引張部のコンクリートの面積は 位置には独立である。

2-2 考え方および計算

鉄筋コンクリート部材にひびわれモーメント以上のモーメントが負荷された場合 外力と内力の釣り合いを考えれば ひびわれを生じていかない断面の鉄筋のひずみは その位置のコンクリートのひずみより大きいと考えて良い。(図-2) さらに ひびわれ数が増加する段階では ひびわれ間中央断面の引張筋のコンクリートの応力は ひびわれの発生に対応して曲げ剛性に達すると考えられる。それ故 図-2 に示すように ひびわれ間中央断面の引張筋のコンクリートの応力を常に曲げ強度に達した状態にあると考える。とり考え方によれば 釣り合い、適合条件から任意のモーメントにおけるひびわれ間中央断面での鉄筋の応力が次式(2), (3), (4), (5) より求められる。

$$k_o = \frac{R_s^2 d + A_s / R_s \{(n/f - 1) + (n-1) \cdot A_s' / A_s \cdot d / d\}}{1 + A_s / R_s \{(n/f - 1) + (n-1) \cdot A_s' / A_s\}} \quad (2)$$

$$\frac{I_{bf}}{E_b k_o d^2} = \left\{ k_o^2 - k_o \cdot \frac{b}{d} + \frac{1}{3} \left(\frac{b}{d} \right)^3 + \frac{A_s}{R_s k_o} \left\{ (n-1) (k_o - \frac{d}{d})^2 \cdot \frac{A_s'}{A_s} + \left(\frac{n}{f} - 1 \right) (1 - k_o)^2 \right\} \right\} \quad (3)$$

$$\sigma_{bu} = \frac{M}{I_{bf}} (h - k_o d) \quad (4) \quad \epsilon_c^I = \frac{d - k_o d}{h - k_o d} \epsilon_{bu} = F \epsilon_s^I \quad (5)$$

ひびわれ断面での鉄筋の応力は既往の方法により容易に求められるので この断面からひびわれ間中央断面までの鉄筋をひびわせ位置でのコンクリートのひずみ分布が明らかにされれば 部材の平均剛性を求めることができ。付着応力と位置の関係を Noackowski⁽³⁾ に従えば次式となる。

$$T_{xy} = k x^{\frac{1}{n-1}} \quad (k: \text{定数}) \quad (6)$$

鉄筋およびコンクリートの任意の位置でのひずみは式(6)といひわれ面を境界条件としてにより次式となる。

$$\epsilon_{sx} = \epsilon_s^I + \frac{U_s}{A_s E_s} \int_0^x T_{xy} dx = \epsilon_s^I \left\{ 1 + \frac{\epsilon_s^I - \epsilon_s^I}{\epsilon_s^I} \left(\frac{x}{a} \right)^{\frac{1}{n-1}} \right\} \quad U_s: \text{鉄筋の全周長}, A_s: \text{鉄筋の全断面積} \quad (7)$$

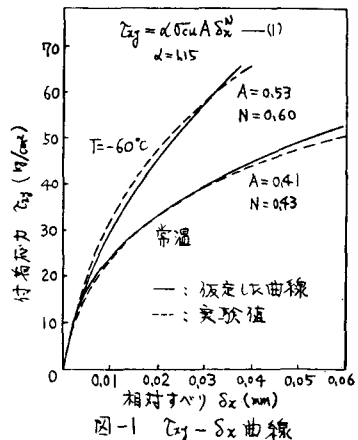


図-1 $T_{xy} - S_x$ 曲線

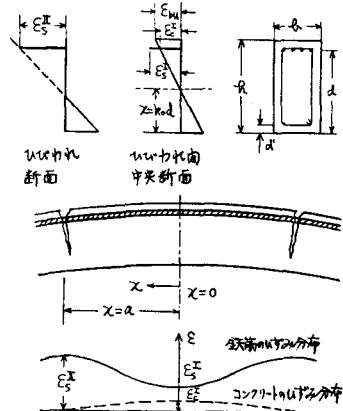


図-2 鉄筋・コンクリートのひずみ分布

$$\varepsilon_{cx} = \varepsilon_c^x - \frac{1}{K_A \varepsilon_c} \int_0^x \varepsilon_{xy} dx = \varepsilon_c^x \left\{ 1 - \left(\frac{x}{a} \right)^{\frac{1}{1+N}} \right\} \quad (8)$$

平均ひびわれ開閉の $\frac{1}{2}$ を求めるのは式(7), (8)を積分することから求めた相対すべり α より生じる付着力 $\alpha(1)$, (6)より以下のようになる。

$$\alpha = \left[\frac{1+N/1-N \cdot d_s/4 (\sigma_s^{II} - \sigma_s^I)}{\alpha \sigma_{cu} A (\varepsilon_c^x)^N ((1/N-1) + 1-N/2 (1/\gamma_f \cdot \varepsilon_s^I - \varepsilon_s^I / \varepsilon_s^x + 1))^N} \right]^{\frac{1}{1+N}} \quad d_s: 鉄筋径 \quad (9)$$

この α を用い、鉄筋と圧縮繊コンクリートの平均ひずみおよび部材の平均曲率を求めれば以下の通りである。

$$\varepsilon_s^m = \frac{1}{a} \int_0^a \varepsilon_{sx} dx = \varepsilon_c^x \left\{ 1 + \frac{1}{2} \cdot \varepsilon_s^I - \varepsilon_s^I / \varepsilon_s^x \right\} = \gamma_f \varepsilon_s^x \quad (10) \quad \varepsilon_c^m = n_p \left\{ 1 + \sqrt{1 + 2/\gamma_f p} \right\} \varepsilon_s^m \quad (11)$$

$$1/p = M/(EI)_{av.} = \varepsilon_s^m + \varepsilon_c^m / d = \gamma_f \varepsilon_s^x \left\{ 1 + n_p \left(1 + \sqrt{1 + 2/\gamma_f p} \right) \right\} / d \quad (12)$$

ただし, $n_p = \varepsilon_s / E_c$, $p = A_s / \rho d$, γ_f : 平均を意味する添数

3. 実験概要

使用した材料の低温下の試験成績は岡沢⁽⁴⁾, 沼崎⁽⁵⁾の結果を用いた。それらを表-1に示す。試験した部材の断面・形状寸法の一例を図-3に示す。低温実験は内寸法 $60 \times 160 \times 350$ cmの低温槽内に部材とともに低温用に製作した差動トランス型変位計をセットして実施した。低温用変位計は予め $1/100$ mmあたり $1/1000$ mmのダイヤルゲージで校正した。常温下における部材の平均曲率は鉄筋位置と圧縮繊より 1 cmの位置に 10 cm開隔で等モーメント区間全幅にわたりて貼付け

したコンタクトホイントの変形量を $1/1000$ mmコンタクトゲージで測定することにより求めた。低温下の部材の曲率は上記変位計をコンタクトホイントと同じ位置に1台ずつ 40 cmの標点距離として 80 cmの区間の変位量を測定して求めた。荷荷は温度荷重を想定して変位計を行なった。

4. 結果

本解析結果をRao⁽⁶⁾の実験および実験結果から求めた曲率と対比して図-4に示す。計算結果は常温, 低温下ともに実験値と比較的良く一致しており, またRaoの結果と比較しても常温, 低温下ともに同程度の許容を与えていることがわかる。低温下にある鉄筋コンクリート部材の平均曲率剛性の実測値はひびわれ発生後においてひびわれ断面に着目して求めた曲率剛性がおよそ $1.5 \sim 3.0$ 倍にも達している。このことは

低温下にある鉄筋コンクリート部材の剛性を評価する時, 刚性剛性の増加をあいさってコンクリートに負担される引張応力を考慮することの重要性を意味している。

5. あとがき

今後は一層現象に忠実な伝達がよりより考慮され、実用化にむけた影響をも検討してゆきたい。最後に本研究に際し熱心な協力をしてくれた武内, 日下, 伊藤, 沢藤の四氏をはじめ関係諸氏に深謝する。

参考文献

- 1) 木村: 低温下におけるコンクリート鉄筋付着特性について, 第3回平構
- 2) Martin, H.: Zusammenhang zwischen Oberflächenbeschaffenheit, Verbund und Sprengwirkung von Bewehrungsstäben unter kurzzeitbelastung, Heft 228 der Schriftenreihe des DAFStb Berlin (1973)
- 3) Narkiewski, P.: Beanspruchung auf Biegung hin bezüglich auf zulässige Stahlspannung

| コンクリート | | | | | | 鉄筋 (SD35D16) | | |
|--------|-----------------------|-----------------------|-----------------------|-----------------------|-----------------------|-----------------------|-----------------------|------|
| w/c | σ_{cu} | σ_{tu} | σ_{fu} | E_c | σ_{sy} | σ_{tu} | E_s | |
| (%) | (kg/cm ²) | |
| 常温 | 58 | 366 | 51.0 | 37.0 | 2.8 | 36.2 | 53.4 | 19.7 |
| 低温 | 58 | 710 | 120.0 | 65.0 | 3.7 | 41.5 | 58.5 | 20.1 |

表-1 材料の試験成績

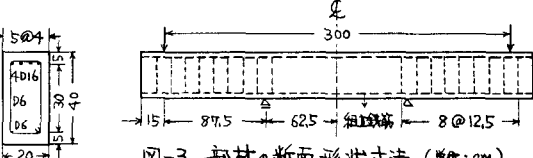


図-3 部材の断面形状寸法(単位: cm)

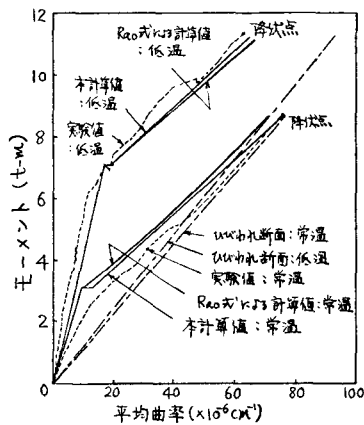


図-4 M-1/p 曲線

- 4) 岡沢: 低温下におけるコンクリートの強度試験, 1978, 未発表
- 5) 沼崎: 鋼筋コンクリート部材の引張荷重下における強度の検討, 1978, 未発表
- 6) Rao, P.S.: Insegmental Moment-Curvature Relations for Reinforced Concrete Members, Jour. of ACI, Vol. 70, No. 5, Sept. 1975